

ВАРИАНТНАЯ АНАТОМИЯ БРЮШНОЙ ЧАСТИ ПИЩЕВОДА ЧЕЛОВЕКА МЕТОДОМ СПИРАЛЬНОЙ КОМПЬЮТЕРНОЙ ТОМОГРАФИИ

Шестакович Е.Н., Очковский В.А.

*УО «Белорусский государственный медицинский университет»,
г. Минск, Беларусь*

Сахарчук Т.В.

*УЗ «Минский городской клинический онкологический центр»
г. Минск, Беларусь*

Ретроспективно изучены данные компьютерной томографии 46 человек в возрасте от 8 до 70 лет. Выявлены особенности анатомии и морфометрических параметров брюшной части пищевода человека.

Ключевые слова: спиральная компьютерная томография, брюшная часть пищевода, анатомия.

VARIANT ANATOMY OF THE ABDOMINAL PART OF THE HUMAN ESOPHAGUS BY SPIRAL COMPUTED TOMOGRAPHY

Shestakovich E.N., Ochkovsky V.A.

*Belarusian State Medical University
Minsk, Belarus*

Sakharchuk T.V.

*Minsk City Clinical Oncology Center
Minsk, Belarus*

Computed tomography data of 46 people aged from 8 to 70 years were retrospectively studied. The features of the anatomy and morphometric parameters of the abdominal part of the human esophagus were revealed.

Keywords: spiral computed tomography, abdominal part of the esophagus, anatomy.

Введение. Внимание клиницистов к вариантной анатомии брюшной части пищевода человека обусловлено тем, что знание не только типичного, но и вариантного ее строения, позволяет практикующим специалистам с большей точностью проводить диагностику заболеваний этой области, разрабатывать лечебные подходы, а также избегать врачебных ошибок [1-3].

Компьютерная томография (КТ) является исследованием, которое повсеместно используется в диагностике заболеваний брюшной полости, однако публикации о возможностях метода для детальной оценки состояния брюшной части пищевода, пищеводно-желудочного перехода практически отсутствуют. Упоминания о КТ этой области имеются лишь в аспекте поисков

метастазов у пациентов со злокачественными поражениями этой зоны. Поэтому разработка и применение для диагностики патологии брюшной части пищевода такого метода прижизненной визуализации, как компьютерная томография, представляется целесообразным и оправданным [4, 5].

Материалы и методы. Материалом для ретроспективного исследования послужили данные спиральной компьютерной томографии 46 человек (25 женщины и 21 мужчина) в возрасте от 8 до 70 лет (6 возрастных групп), полученные на базе ГУ «Республиканский научно-практический центр «Мать и дитя».

Распределение исследованных лиц по возрастным группам было проведено согласно классификации 1965 г., разработанной Институтом Физиологии детей и подростков АПН СССР, используемой в биологии и медицине.

С использованием возможностей программы «DICOM Viewer», проведена морфометрия брюшной части пищевода (БЧП): измерена величина кардиальной вырезки (Угол Гиса), длина брюшной части пищевода (Д), ширина пищевода в пищеводном отверстии диафрагмы (Ш1), в брюшной полости (Ш 2), в области кардиального отверстия желудка (Ш3) (Рисунок 1).

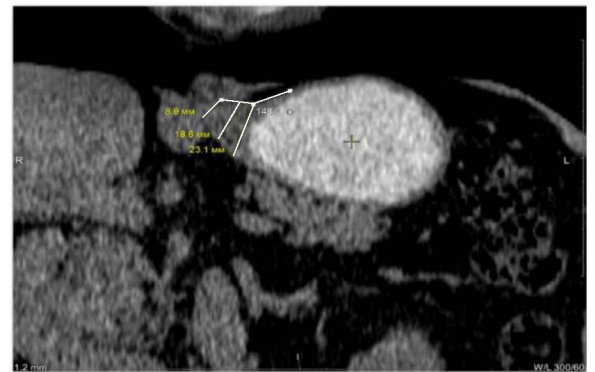


Рис.1. Морфометрия пищевода

Результаты исследования и их обсуждение. Анализ морфометрических характеристик брюшной части пищевода показал, что в области пищеводного отверстия диафрагмы наименьший показатель ширины БЧП наблюдался в возрастной группе 16-21 год и в среднем составил 10,6 (10,5-10,6) мм, а ее наибольшее значение характерно для группы 35-55 лет (14,1 (13,2-15,7) мм соответственно, $p \leq 0,05$). В возрастной группе 22-34 года отмечалась наибольшая вариабельность показателя ширины БЧП в брюшной полости, когда показатель изменялся от 11,5 мм до 21,9 мм ($p \leq 0,05$). В области кардиального отверстия желудка наибольшие показатели ширины БЧП регистрировались в группе 35-55 лет (в среднем составили 22,1 (21,0-23,5) мм), а наименьшие – в 22-34 года (в среднем составили 21,8 (20,1-23,3) м, ($p \leq 0,05$)).

Минимальные показатели угла Гиса характерны для группы 16-21 год (варьировали от 83,2° до 95,2°), а максимальные – в 35-55 лет (95,6°- 130,9° соответственно).

Наименьшая длина пищевода регистрировалась в возрастной группе 35-55 лет (19,0 (16,2-21,6) мм), максимальная – в 56-74 года (15,0 (13,7-17,80) мм).

Достоверных отличий в показателях ширины БЧП, длины БЧП и угла Гиса у мужчин и женщин не выявлено ($\chi^2=7,2$, $p=0,073$).

В результате исследования показателей величины угла Гиса было установлено, что они достоверно различаются в разных возрастных группах

($H=11,62$; $p=0,04$). С увеличением возраста человека значение угла Гиса увеличивается ($p \leq 0,05$).

Выводы. В ходе проведенного исследования установлено, что наименьший показатель ширины брюшной части пищевода в области пищеводного отверстия диафрагмы (10,6 (10,5-10,6) мм), а также минимальный показатель угла Гиса ($83,2^\circ$ до $95,2^\circ$) характерны для возраста 16-21 год ($p \leq 0,05$). В возрасте 22-34 года отмечается наибольшая вариабельность морфометрических показателей брюшной части пищевода. В 35-55 лет ширина брюшной части пищевода максимальна в области кардиального отверстия желудка (22,1 (21,0-23,5) мм). В этот же период длина пищевода наименьшая (19,0 (16,2-21,6) мм, $p \leq 0,05$). Для людей в возрасте 56-74 года характерна максимальная длина брюшной части пищевода (15,0 (13,7-17,80 мм). Достоверных отличий в показателях ширины БЧП, длины БЧП и угла Гиса у мужчин и женщин не выявлено ($\chi^2=7,2$, $p=0,073$).

Литература

1. Оспанов, О. Б. К обоснованию выбора методики лапароскопической фундопликации / О.Б. Оспанов, И.С. Волчкова // Современные проблемы науки и образования. - 2012. - № 2. - С. 20-23.
 2. Akimoto S, Singhal S, Masuda T, Mittal SK. Classification for esophagogastric junction (EGJ) omlplex based on physiology/Dis Esophagus, 2017. - volume30 (issue6) - P.1-6.
 3. Krechenbul, L. A Place for the Surgical Treatment of Gastroesophageal reflux disease / L. Krechenbul, M. Schefer [et al.] // Chirurgische Gastroenterologie. – 1997. – V.13, №2. – P.143-146.
 4. Takubo, K. Structures of the normal esophagus and Barrett's esophagus / K. Takubo, T. Arai [et al.] // Esophagus. – 2003. – №1. – P.37-47.
- Testoni, P.A. Gastroesophageal Reflux Disease. Etiopathogenesis and Clinical Manifestations / P.A. Testoni // Gastroenterology International. – 1999 –Vol. 10. – Suppl. 2 –